

Starkniederschlagshöhen und -spenden gemäß KOSTRA-DWD-2020

Rasterfeld 153090

(Zeile 153, Spalte 90)

Regenspende und Bemessungsniederschlagswerte in Abhängigkeit von Wiederkehrzeit T und Dauerstufe D

| Dauerstufe D | | Wiederkehrzeit T | | | | | | | | | | | | | | | | | |
|--------------|-----|------------------|------------|------|------------|------|------------|-------|------------|-------|------------|-------|------------|-------|------------|-------|------------|-------|------------|
| | | 1 a | | 2 a | | 3 a | | 5 a | | 10 a | | 20 a | | 30 a | | 50 a | | 100 a | |
| min | Std | mm | l / (s ha) | mm | l / (s ha) | mm | l / (s ha) | mm | l / (s ha) | mm | l / (s ha) | mm | l / (s ha) | mm | l / (s ha) | mm | l / (s ha) | mm | l / (s ha) |
| 5 | | 6,4 | 213,3 | 7,9 | 263,3 | 8,8 | 293,3 | 10,0 | 333,3 | 11,8 | 393,3 | 13,6 | 453,3 | 14,7 | 490,0 | 16,3 | 543,3 | 18,5 | 616,7 |
| 10 | | 8,4 | 140,0 | 10,3 | 171,7 | 11,5 | 191,7 | 13,1 | 218,3 | 15,4 | 256,7 | 17,7 | 295,0 | 19,2 | 320,0 | 21,3 | 355,0 | 24,1 | 401,7 |
| 15 | | 9,7 | 107,8 | 11,9 | 132,2 | 13,3 | 147,8 | 15,1 | 167,8 | 17,7 | 196,7 | 20,4 | 226,7 | 22,2 | 246,7 | 24,5 | 272,2 | 27,8 | 308,9 |
| 20 | | 10,6 | 88,3 | 13,1 | 109,2 | 14,6 | 121,7 | 16,6 | 138,3 | 19,5 | 162,5 | 22,5 | 187,5 | 24,4 | 203,3 | 27,0 | 225,0 | 30,7 | 255,8 |
| 30 | | 12,1 | 67,2 | 15,0 | 83,3 | 16,7 | 92,8 | 19,0 | 105,6 | 22,3 | 123,9 | 25,7 | 142,8 | 27,9 | 155,0 | 30,8 | 171,1 | 35,0 | 194,4 |
| 45 | | 13,8 | 51,1 | 17,0 | 63,0 | 19,0 | 70,4 | 21,6 | 80,0 | 25,3 | 93,7 | 29,2 | 108,1 | 31,7 | 117,4 | 35,1 | 130,0 | 39,8 | 147,4 |
| 60 | 1 | 15,1 | 41,9 | 18,6 | 51,7 | 20,8 | 57,8 | 23,6 | 65,6 | 27,7 | 76,9 | 32,0 | 88,9 | 34,7 | 96,4 | 38,3 | 106,4 | 43,5 | 120,8 |
| 90 | 1,5 | 17,1 | 31,7 | 21,1 | 39,1 | 23,6 | 43,7 | 26,8 | 49,6 | 31,4 | 58,1 | 36,2 | 67,0 | 39,4 | 73,0 | 43,5 | 80,6 | 49,4 | 91,5 |
| 120 | 2 | 18,7 | 26,0 | 23,0 | 31,9 | 25,7 | 35,7 | 29,2 | 40,6 | 34,3 | 47,6 | 39,6 | 55,0 | 43,0 | 59,7 | 47,5 | 66,0 | 53,9 | 74,9 |
| 180 | 3 | 21,2 | 19,6 | 26,1 | 24,2 | 29,1 | 26,9 | 33,1 | 30,6 | 38,8 | 35,9 | 44,7 | 41,4 | 48,6 | 45,0 | 53,7 | 49,7 | 61,0 | 56,5 |
| 240 | 4 | 23,1 | 16,0 | 28,4 | 19,7 | 31,8 | 22,1 | 36,1 | 25,1 | 42,4 | 29,4 | 48,8 | 33,9 | 53,1 | 36,9 | 58,6 | 40,7 | 66,5 | 46,2 |
| 360 | 6 | 26,1 | 12,1 | 32,1 | 14,9 | 35,9 | 16,6 | 40,8 | 18,9 | 47,9 | 22,2 | 55,2 | 25,6 | 60,0 | 27,8 | 66,2 | 30,6 | 75,2 | 34,8 |
| 540 | 9 | 29,5 | 9,1 | 36,3 | 11,2 | 40,6 | 12,5 | 46,1 | 14,2 | 54,1 | 16,7 | 62,4 | 19,3 | 67,8 | 20,9 | 74,8 | 23,1 | 85,0 | 26,2 |
| 720 | 12 | 32,2 | 7,5 | 39,6 | 9,2 | 44,2 | 10,2 | 50,3 | 11,6 | 59,0 | 13,7 | 68,0 | 15,7 | 73,9 | 17,1 | 81,6 | 18,9 | 92,7 | 21,5 |
| 1080 | 18 | 36,3 | 5,6 | 44,7 | 6,9 | 49,9 | 7,7 | 56,8 | 8,8 | 66,6 | 10,3 | 76,8 | 11,9 | 83,5 | 12,9 | 92,2 | 14,2 | 104,7 | 16,2 |
| 1440 | 24 | 39,6 | 4,6 | 48,8 | 5,6 | 54,5 | 6,3 | 61,9 | 7,2 | 72,7 | 8,4 | 83,7 | 9,7 | 91,0 | 10,5 | 100,5 | 11,6 | 114,1 | 13,2 |
| 2880 | 48 | 48,8 | 2,8 | 60,1 | 3,5 | 67,0 | 3,9 | 76,2 | 4,4 | 89,4 | 5,2 | 103,1 | 6,0 | 112,0 | 6,5 | 123,7 | 7,2 | 140,5 | 8,1 |
| 4320 | 72 | 55,1 | 2,1 | 67,8 | 2,6 | 75,7 | 2,9 | 86,1 | 3,3 | 101,0 | 3,9 | 116,4 | 4,5 | 126,5 | 4,9 | 139,7 | 5,4 | 158,7 | 6,1 |
| 5760 | 96 | 60,0 | 1,7 | 73,9 | 2,1 | 82,5 | 2,4 | 93,8 | 2,7 | 110,1 | 3,2 | 126,9 | 3,7 | 137,9 | 4,0 | 152,3 | 4,4 | 173,0 | 5,0 |
| 7200 | 120 | 64,2 | 1,5 | 79,0 | 1,8 | 88,2 | 2,0 | 100,3 | 2,3 | 117,7 | 2,7 | 135,7 | 3,1 | 147,4 | 3,4 | 162,8 | 3,8 | 184,9 | 4,3 |
| 8640 | 144 | 67,8 | 1,3 | 83,5 | 1,6 | 93,2 | 1,8 | 106,0 | 2,0 | 124,4 | 2,4 | 143,3 | 2,8 | 155,7 | 3,0 | 172,0 | 3,3 | 195,3 | 3,8 |
| 10080 | 168 | 71,0 | 1,2 | 87,4 | 1,4 | 97,6 | 1,6 | 111,0 | 1,8 | 130,2 | 2,2 | 150,1 | 2,5 | 163,1 | 2,7 | 180,1 | 3,0 | 204,6 | 3,4 |

Starkniederschlagshöhen und -spenden gemäß KOSTRA-DWD-2020

Rasterfeld 153090

(Zeile 153, Spalte 90)

Örtliche Unsicherheiten in Abhängigkeit von Wiederkehrzeit T und Dauerstufe D

| Dauerstufe D | | Wiederkehrzeit T | | | | | | | | |
|--------------|-----|------------------|-----|-----|-----|------|------|------|------|-------|
| | | 1 a | 2 a | 3 a | 5 a | 10 a | 20 a | 30 a | 50 a | 100 a |
| min | Std | ± % | ± % | ± % | ± % | ± % | ± % | ± % | ± % | ± % |
| 5 | | 14 | 15 | 15 | 16 | 17 | 18 | 18 | 19 | 19 |
| 10 | | 16 | 18 | 19 | 20 | 21 | 22 | 22 | 23 | 23 |
| 15 | | 18 | 20 | 21 | 22 | 23 | 24 | 24 | 25 | 25 |
| 20 | | 18 | 20 | 21 | 22 | 24 | 24 | 25 | 25 | 26 |
| 30 | | 19 | 21 | 22 | 23 | 24 | 25 | 25 | 26 | 27 |
| 45 | | 18 | 20 | 22 | 23 | 24 | 25 | 25 | 26 | 26 |
| 60 | 1 | 18 | 20 | 21 | 22 | 23 | 24 | 25 | 25 | 26 |
| 90 | 1,5 | 17 | 19 | 20 | 21 | 22 | 23 | 24 | 24 | 25 |
| 120 | 2 | 16 | 18 | 19 | 20 | 22 | 23 | 23 | 24 | 24 |
| 180 | 3 | 15 | 17 | 18 | 19 | 20 | 21 | 22 | 22 | 23 |
| 240 | 4 | 14 | 16 | 17 | 18 | 19 | 20 | 21 | 21 | 22 |
| 360 | 6 | 13 | 15 | 16 | 17 | 18 | 19 | 19 | 20 | 20 |
| 540 | 9 | 12 | 14 | 14 | 15 | 16 | 17 | 18 | 18 | 19 |
| 720 | 12 | 12 | 13 | 14 | 15 | 16 | 17 | 17 | 17 | 18 |
| 1080 | 18 | 12 | 13 | 13 | 14 | 15 | 16 | 16 | 16 | 17 |
| 1440 | 24 | 12 | 13 | 13 | 14 | 14 | 15 | 15 | 16 | 16 |
| 2880 | 48 | 14 | 14 | 14 | 14 | 14 | 15 | 15 | 15 | 16 |
| 4320 | 72 | 15 | 15 | 15 | 15 | 15 | 15 | 15 | 16 | 16 |
| 5760 | 96 | 17 | 16 | 16 | 16 | 16 | 16 | 16 | 16 | 16 |
| 7200 | 120 | 18 | 17 | 17 | 16 | 16 | 16 | 16 | 16 | 17 |
| 8640 | 144 | 18 | 18 | 17 | 17 | 17 | 17 | 17 | 17 | 17 |
| 10080 | 168 | 19 | 18 | 18 | 18 | 17 | 17 | 17 | 17 | 17 |

Parameter für abweichende T und D

Lokationsparameter ξ (Xi)

15,29608749

Skalenparameter α (Alpha)

4,92031961

Formparameter κ (Kappa)

-0,1

1. Koutsoyiannis-Parameter θ (Theta)

0,01606698

2. Koutsoyiannis-Parameter η (Eta)

0,70025467

Parameter für dauerstufenübergreifende Extremwertschätzung nach KOUTSOYIANNIS et al. 1998.

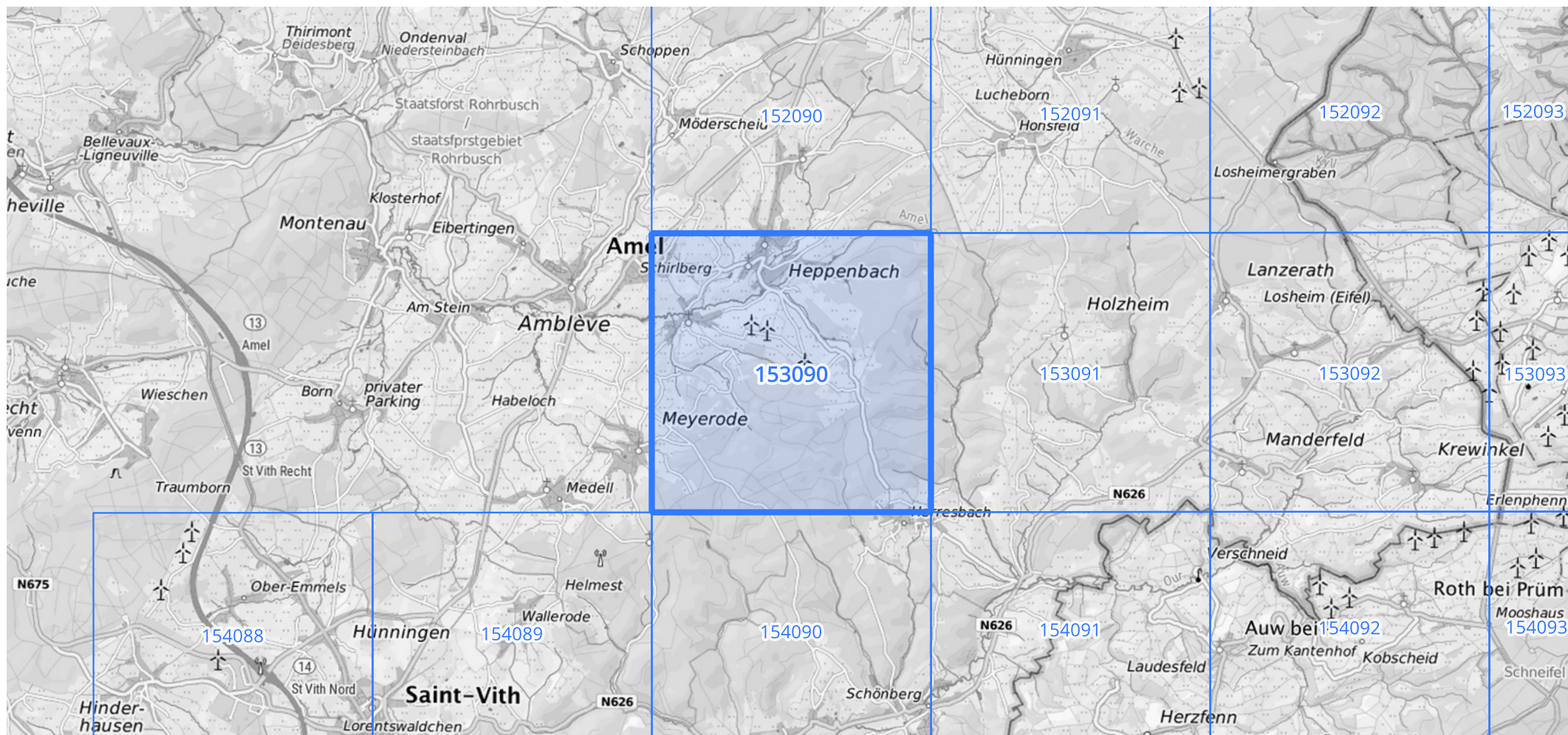
Siehe auch Anwendungshilfe zu KOSTRA-DWD-2020 des Deutschen Wetterdienstes.

Starkniederschlagshöhen und -spenden gemäß KOSTRA-DWD-2020

Rasterfeld 153090

(Zeile 153, Spalte 90)

Übersichtskarte des Rasterfeldes 153090, M 1 : 100 000



Quelle Rasterdaten: KOSTRA-DWD-2020 des Deutschen Wetterdienstes, Stand 12/2022.

Seite 3 von 3

Kartendarstellung: © Bundesamt für Kartographie und Geodäsie (2023), Datenquellen: https://sgx.geodatenzentrum.de/web_public/gdz/datenquellen/Datenquellen_TopPlusOpen.html

Für die Richtigkeit und Aktualität der Angaben wird keine Gewähr übernommen. Erstellt 01/2023.